

I-131 軟鋼材の疲れ強さに及ぼす荷重波形の影響について

東京工業大学 正員 西村俊夫

" " ○丸山嘉高

" " 荒井国太

1. まえがき

従来鋼材の疲れ強さに関する研究は平均応力及び振幅の変化ないし応力が緩和される場合についてのものが多いたが、橋梁など鋼構造物に亘る応力は大きさ及び周期で様々に変動する性状はかなり複雑である。これら構造物の疲れ強さ設計とより合理的に行うには変動応力をもつ構造材の疲れ強さを明らかにする必要がある。著者等はこのような応力下における疲れ強さと解明する基礎段階として応力振幅が終始一定でない場合の疲れ強さについて研究しているが、本報告はその一環として試験片の回転曲げ疲れ試験機において応力振幅が時間とともに正弦形、三角形及び方形に変動する場合に、その疲れ寿命に及ぼす荷重波形の影響及び疲れ寿命と直線被害則との関係を述べたものである。

2. 実験方法

(1) 実験装置 本装置は試験片に変動応力を与えるため小野式回転曲げ疲れ試験機の荷重載荷部に図-1に示すとおり変動応力負荷装置を取り付けたもので、油圧アクチュエーター、荷重制御式サーボコントローラ、ロードセル、油圧源、超低周波発振器と組合せた油圧サーボ機構となっている。負荷装置の動的的最大荷重は±10

0t、動的振幅±0.5mm、静的ストローク±20mm、周波数範囲0.01~0.1Hz、荷重波形は信号発振器により正弦波、三角波、方形波を得ることができる。

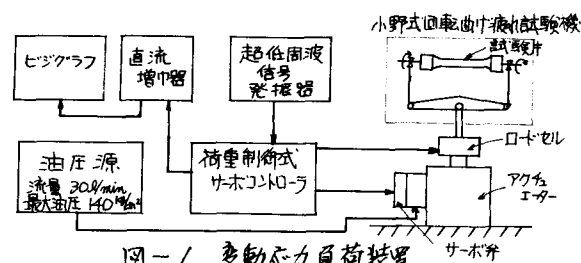


図-1 変動応力負荷装置

(2) 設定繰り返し応力 小野式回転曲げ疲れ試験機による応力波を1次波とい、変動応力負荷装置による応力波を2次波とすると、試験片に生ずる変動応力の波形は図-2のようになる。これに1次波の繰り返し数は50Hzであり2次波の周期は0.1Hzとした。又2次波の応力振幅は平均応力にくらべて常に2.3%とし、かつ平均応力の最大値は降伏点以下とした。

(3) 試験片 実験に供した材料はJIS #1のφ19mm丸棒鋼でその機械的性質は降伏点32.4kgf/mm²、引張強さ45.5kgf/mm²伸び34% (2号試験片)である。試験片は日本材料学会の疲労試験方法規格によるφ1/2mm平滑試験片からφ1/5mm円形断面材に環状及び半円溝を付した切欠試験片(溝底断面φ1/2mm)とし、上述の棒鋼から削り仕上げを行った。(試験片の形状寸法は文献1) 参照)

3. 実験結果と考察

一定振幅S-N線図と3種の変動応力波によるS-N線図と平滑材および切欠材について比較すると、平滑材では平均応力の高い所で方形波及び三角波の寿命が減少が著しいが正弦波两者の中間に位置する。

但し平均応力の減少とともに上記両S-N線図は接近し平均応力が疲労限の2割増以下になると逆に変動応力波の寿命が増大する。これに対し切欠材では一定振幅S-N線図と変動応力波によつてS-N線図とは相準じていて、やはり平均応力が疲労限の2倍以上になると変動応力波の寿命が増大している。これら変動応力が作用する場合の疲労寿命の実験値と直線疲労則によつて求めた算定値とを比べるために破断に至る繰返し数Nと種々の平均応力に対する計算結果図-3にあわせて示す。ここに

$$N = 1 / \sum_{k=1}^n \frac{1}{N(\sigma_k) \cdot m} \quad (2)$$

但し σ_k : 1周期の2次波を n 等分した番目の正弦に入る1次波群の応力振幅の平均値

$N(\sigma_k)$: 一定振幅S-N線図より求めた σ_k に対する
破断繰返し数

算定曲線は方形波の場合が最も寿命が短くでたが一定振幅S-N線図と相準じたものになつてゐる。従って実験値に対して平滑の場合ばかりのひらきがある(正弦波と三角、方形波に比べれば接近している)が、切欠材では15%線上にのつてゐるといつてよい。しかし平均応力の低いところでは両者の相違は大きくなつてゐる。

いざ山田が提唱している疲労度関数を導入して寿命を算定すれば平均応力の高いところでは直線疲労則による算定値と同じになり、平均応力の低いところでは寿命が延伸するので、前述の場合より実験値をカバーすることになる。

上述のように2次波が正弦、三角および方形に変動する場合の疲労寿命についておほその傾向が把握されたが、さらに応力振幅の異なる場合の実験や寿命算定法について検討を続けたい。

(参考文献)

- 1) 西村・丸山: 2段重複荷重による疲れ強さに及ぼす切欠の影響 東工大土木科研究報告6(1968)
- 2) 梶村・西村: 変動応力による構造部材の疲れ強さについて 東工大土木科研究報告8(1970)
- 3) 山田: 繰返し変動応力に対する疲労強度 採用試験 6-45(1957)

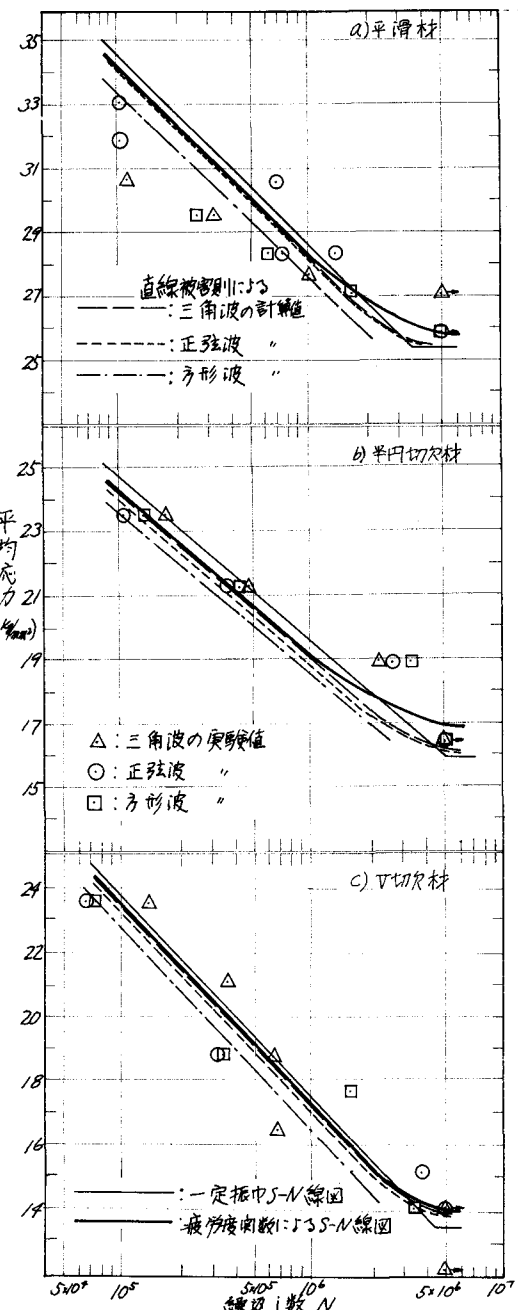


図-3 2次波が正弦、三角、方形波の場合のS-N線図。